

水利电力部技术改进局编

汽輪机調整系統的
設計和調整

(第四輯)

水利电力出版社

內容 摘 要

本輯內容共分為五部分：分別介紹了汽輪機的各種調整汽門，鍋輪鍋杆及油泵齒輪工藝過程，國產 FK-0.75 和 AK-25 汽輪機調整系統，B.T.H.750 瓶機調整系統的改進設計，以及汽輪機調整系統的經驗交流等。文內並附有很多圖例，可供讀者參考。

本書可供從事汽輪機調整系統設計和調整的工程技術人員用，亦可作開設這方面訓練班的教材用。

汽輪機調整系統的設計和調整 第四輯

水利電力部技術改造局編

*

1427R301

水利電力出版社出版(北京市西花園胡同三號樓)

北京市審刊出版業營業許可證出字第105号

水利電力出版社印刷廠排印 新華書店發行

*

850×1168 1/16开本 * 4版印張 * 101千字

1958年10月北京第1版

1958年10月北京第1次印刷(0001—4.100册)

統一書號：15143·1136 定價(第9類)0.65元

目 录

I、汽輪机的調整汽門	2
一、調整汽門的一般問題	2
二、單平口汽門	4
三、單斜口汽門	10
四、双口汽門	13
五、帶扩散器的汽門	16
六、斷流控制的計算	19
七、檢修調整時注意事項	21
八、設計及其他	24
II、蝸輪蝸杆及油泵齒輪工藝過程簡介	25
一、蝸輪付的制造工藝過程	25
二、蝸輪蝸杆的应有的技術條件	29
三、今后提高質量方向	29
四、油泵齒輪的制造工藝	30
五、油泵齒輪的測繪和技術條件	30
III、國產TK-0.75和AK-25汽輪機調整系統簡介	35
一、汽輪機調整系統中的調速器在我廠生產的概況(從1953~ 1958年)	35
二、TK-0.75汽輪機調整系統(半液壓式)	36
三、AK-25汽輪機液壓式調整系統	38
IV、B.T.H.750瓦機調整系統改進設計	41
一、調整系統	41
1. 原則性調整系統的選擇	41
2. 調速系統敘述(參閱圖IV-1, 插頁)	42
二、汽輪機的起動和控制	43
三、自動保護裝置和潤滑	43
四、調整系統動態穩定計算(參閱圖IV-2)	44
1. 穩定性判別準則	44
2. 各元件時間的計算	46
3. 系統穩定性校核	47
五、各部件設計計算	48
1. 伺服馬達結構合算	48
2. 伺服馬達斷流式錯油門設計(參閱圖IV-4)	52
3. 調速器設計(參閱圖IV-4)	53
4. 自定中心活塞設計(參閱圖IV-4)	55

5. 液动联系系統設計(參閱圖IV-4、IV-8和IV-1).....	61
6. 抽油器設計(參閱圖IV-9)	63
7. 油泵設計(參閱圖IV-10和IV-11)	65
V、汽輪機調整系統經驗交流	72
一、消除B.B.C.15000瓩汽輪機負荷摆動經驗介紹.....	72
二、B.B.C.25000瓩汽輪機調整系統靜態特性試驗介紹.....	73
三、用變更同步器套筒泄油窗形狀以改變B.B.C.型汽輪機速度 變動率的方法	73
四、容量為3000瓩的B.B.C.型汽輪機調整系統調整經驗介紹	76
五、國產AK-6型汽輪機調整系統特性和經驗介紹	79
六、國產AK-6型汽輪機油系統經驗点滴	90
七、老GE汽輪機調整汽門的檢修與改造.....	91
八、10000瓩西門子型汽輪機調整系統的調整	100
九、雙口汽門不能維持空負荷運行缺陷的消除.....	102
十、15000瓩西門子汽輪機調整系統不能維持空負荷缺陷的消 除	103
十一、15000瓩西門子汽輪機調速器斷軸事故	103
十二、5000瓩石川島汽輪機調速器故障	103
十三、4000瓩石川島汽輪機調速器故障	105
十四、調整石川島汽輪機危急保安器動作轉數的方法	106
十五、某廠AEG. 2320瓩汽輪機調速器飛錘飛出的事故	107
十六、日本制 AEG型750瓩汽輪機調速器推力瓦損壞事故	109
十七、蘇聯AK-1、AK-6汽輪機調整系統經驗介紹	110
十八、蘇聯AK-6汽輪機輔助油泵油壓調整器檢修經驗	113
十九、JIM3 BIII 2 \times 3型汽輪機調整系統經驗介紹	114
二十、2000瓩M.V型汽輪機調整系統的調整	117
二十一、5000瓩M.V型汽輪機調整系統缺陷的消除	117
二十二、防止汽輪機油系統漏油的一些經驗	118
二十三、川崎汽輪機危急保安器的改進	119
二十四、調整軸承油壓所引起的事故	126
二十五、幅流式汽輪機危急保安器的改進	126
二十六、幅流式汽輪機油系統事故教訓	127
二十七、簡易汽輪機調整系統靜態特性試驗方法	128

I、汽輪机的調整汽門

一、調整汽門的一般問題

造成調整系統工作惡化的原因，有很多是因为配汽機構工作得不好。配汽機構工作不好有时甚至会使調整系統完全失去作用。所以在設計和整定汽輪机調整系統时，都應該仔細考慮配汽機構的工作情況。本文將着重討論配汽機構的主要部件——調整汽門。

对于調整汽門有下列几点要求：

1. 汽門的升程与流量的关系应尽可能作成为線性的。

无论在杠杆式的或液动式的調整系統中，从轉速訊号直到主伺服馬達都是很容易作成近似線性的关系。如果从伺服馬達到電負荷的关系也是線性的，那么調整系統的靜態特性（轉速与負荷的关系）也就是平稳的直線，这种特性正是运行上所要求的。对于抽汽式汽輪机这种特性也是自洽調整的必要条件。

在直接傳動的往復式伺服馬達（如B.B.V.，幅流及M.V.及G.E.汽輪机中）中，汽門升程与伺服馬達的行程关系是線性的。此时，只有讓汽門升程与电負荷关系为線性时才能达到上述的要求。大家都知道电負荷与蒸汽流量是近似成正比例的，因此，要求汽門的升程与流量的关系是線性的。

在間接傳動的往復式伺服馬達（如J.M.3.汽輪机）、回轉伺服馬達（如A.B.G.汽輪机）及以凸輪作反調整的伺服馬達（如上海AK-6）中，汽門升程与流量的非線性关系可以用凸輪来补偿，伺服馬達升程与电負荷的关系仍然可以作成線性的。虽然如此，还是宁可把汽門升程与流量的关系作成線性的。因为：（1）以凸輪上曲線來作补偿时，安裝略有不当，汽門升程的起点沒有落在原凸輪曲線相應的起点上，很可能造成調整系統在这个負荷下不

稳定；(2)以凸輪作傳動機構增加了調整系統不灵敏的可能性。

汽門的升程与流量的关系作成線性的虽有很大的好处，但如后所述实际上常常并不可能严格做到，只能要求尽可能作成近似線性的。

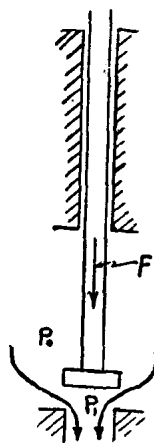


图 I - 1 蒸汽作用在汽門上的力及其方向

2. 蒸汽作用在汽門上的力要小、方向应使汽門不卡澀。

由于蒸汽在汽門前后的靜压力以及汽流的冲击力(如图 I - 1)使蒸汽有一个力量 F 作用在汽門上。这个力量要尽可能小。它对調整系統的影响很大。 F 愈大伺服馬達及油泵油量也要設計得愈大，或油压要設計得愈高。伺服馬達和油泵不必要的大，意味着整個調整系統笨重和不經濟。提高油压也有一定的限度，到目前为止，最高的使用油压为 12 公斤/公分²。

蒸汽力 F 的方向应背向汽門杆套，如图 I - 1 所示。如果 F 的方向和图 I - 1 所示的相反，朝向汽門杆套，则易使汽門杆套卡澀。另外，在一些大型汽門中(如輻流汽輪机)，由于汽流的作用常使 F 并不与汽門杆中心綫重合，而在与汽門杆垂直的方向上有一分力。显然，这种情况增加了汽門卡澀的因素，在設計汽門时应极力避免。

3. 汽門的流量系数要大。

汽門流量系数較大，意味着同样的标称直徑的汽門在同样的压降下能通过的蒸汽流量較大。很容易看出，如果通过汽門的流量确定了，流量系数較大的汽門，其名称直徑可以選擇得小一些。汽門名称直徑小可使其結構輕巧。汽門名称直徑小还常常伴随着蒸汽作用在汽門上的力也小，如前所述这将使調整系統輕巧而經濟。

4. 汽門要能关闭严密。

汽門应能关闭得很严密，否则很难維持空負荷，而且对安全

也是不利的。

5. 汽門应不跳动。

二、單平口汽門

过热蒸汽經過节流裝置时的流速，如果是絕热的和沒有損失的，可以表示如下：

$$c_{1t} = \sqrt{2g \frac{K}{K-1} P_0 V_0 \left(1 - \left(\frac{P_1}{P_0} \right)^{\frac{k-1}{k}} \right) + C_0^2} \quad (1)$$

式中 P_0 —— 节流裝置前的蒸汽压力，絕對大气压 $\times 10^4$ ；

V_0 —— 节流裝置前的蒸汽比容，公尺³/公斤；

K —— 絶热指数，等于1.3；

P_1 —— 节流裝置处的蒸汽压力，絕對大气压 $\times 10^4$ ；

g —— 重力加速度，等于9.81公尺/秒²；

C_0 —— 节流裝置前的流速，公尺/秒。

实际上經過汽輪机調整汽門的蒸汽都是过热蒸汽，故可用公式(1)来計算流速，只需乘上流速系数。單口汽門的示意图如图 I -1 所示，其流速为

$$C = \varphi C_t \quad (2)$$

式中 φ —— 流速系数。

为計算方便起見，引用單位面积的流量，其公式如下：

$$\frac{G}{A} = \frac{C}{V_1}$$

式中 G —— 通过汽門的流量，公斤/秒；

A —— 汽門的面积，公尺²；

V_1 —— 汽門处的蒸汽比容，公尺³/公斤。

代入式(2)及式(1)，并設 $C_0=0$ ，得

$$\frac{G}{A} = \varphi \sqrt{2g \frac{K}{K-1} \left(\left(\frac{P_1}{P_0} \right)^{\frac{2}{K}} - \left(\frac{P_1}{P_0} \right)^{\frac{K+1}{K}} \right) \sqrt{\frac{P_0}{V_0}}} = \xi_1 \sqrt{\frac{P_0}{V_0}} \quad (3)$$

① 参考 A. B. 雪格里雅耶夫著“蒸汽透平”中文版上册公式(55)。高等教育出版社1954年出版。

$$\text{式中 } \xi_1 = \varphi \sqrt{2g} \frac{K}{K-1} \left[\left(\frac{P_1}{P_0} \right)^{\frac{2}{K}} - \left(\frac{P_1}{P_0} \right)^{\frac{K+1}{K}} \right]$$

如果 A_1 以平方公分, P_0 以絕對大氣壓計, 則

$$\frac{G}{A_1} = \xi \sqrt{\frac{P_0}{V_0}} \text{ 公斤/秒-公分}^2, \quad (4)$$

$$\text{式中 } \xi = 10^{-2} \xi_1 = 10^{-2} \varphi \sqrt{2g} \frac{K}{K-1} \left[\left(\frac{P_1}{P_0} \right)^{\frac{2}{K}} - \left(\frac{P_1}{P_0} \right)^{\frac{K+1}{K}} \right].$$

為了使用方便, 把 ξ 預先計算出, 列于表 1 中, 并將此數值以圖 I-2 中的曲線表示。

表 1 ξ 的數值 (假定 $\varphi=0.9$)

P_1/P_0	ξ	P_1/P_0	ξ
0.55	0.01955	0.93	0.01065
0.60	0.01945	0.94	0.00991
0.65	0.01915	0.95	0.00912
0.70	0.01852	0.96	0.00819
0.75	0.01765	0.97	0.00714
0.80	0.01636	0.98	0.00588
0.85	0.01476	0.99	0.004129
0.90	0.01250	0.995	0.00298
0.91	0.01187	1.000	0.00000
0.92	0.01130		

現在以实例來說明單平口汽門的計算問題。設有一台汽輪機的額定出力是3000瓩。為了計算簡單起見, 設調整汽門前蒸汽參數為常數, 壓力 P_0 為 14.32 絕對大氣壓, 溫度 t_0 為 263.6°C 。額定出力時的流量 G 為 4.38 公斤/秒。另設在各種出力下調整汽門後(噴咀前)的汽壓 P_1 及流量 G 均已知如表 I-2 中及圖 I-3 上所示。

從蒸汽表上可以查出, 當 $P_0 = 14.32$ 絕對大氣壓, t_0 為 265.6°C 時, 蒸汽比容 $V_0 = 0.173 \text{ 米}^3/\text{公斤}$ 。根據式(4)

$$A_1 = \frac{G}{\xi \sqrt{\frac{P_0}{V_0}}}.$$

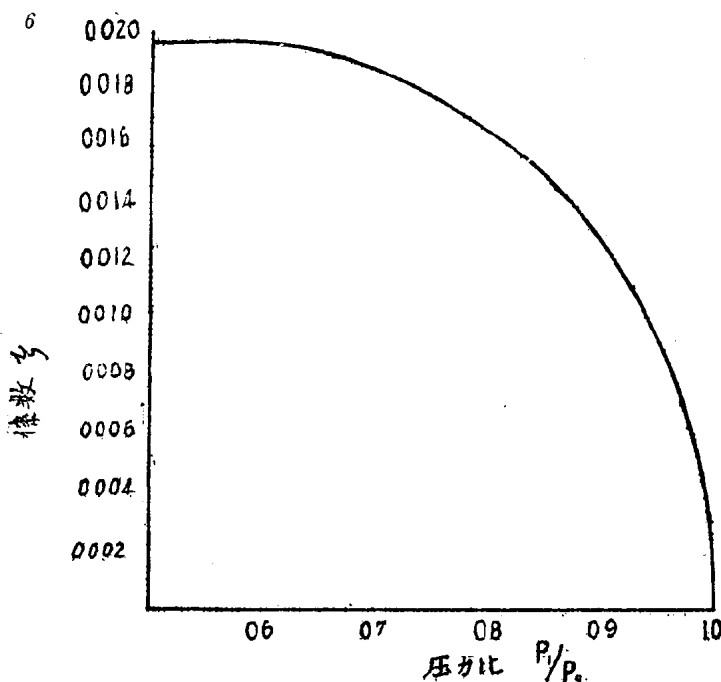


图 I-2 过热蒸汽通过汽門的系数

表 2 單平口汽門計算的例子

額定出力3000瓩, $P_0=14.32$ 絶對大氣壓, $t_0=263.6^{\circ}\text{C}$, 汽門直徑為 13.05公分

負荷 瓩	P_1 絕對大 氣壓	$\frac{P_1}{P_0}$	ξ	G 公斤 秒	面積 A_p 公分 2	升程 L 公 分	从空負荷的 升程 L'	轉速变动 %
0	1.41	0.098	0.0196	0.459	3.21	0.077	0	0
500	3.52	0.245	0.0196	1.147	8.03	0.196	0.119	0.140
1,000	5.62	0.392	0.0196	1.837	12.9	0.315	0.238	0.275
1,500	7.73	0.540	0.0196	2.525	17.6	0.429	0.352	0.415
1,600	8.17	0.569	0.0195	2.661	18.6	0.453	0.376	0.445
1,800	9.00	0.628	0.0193	2.938	20.8	0.507	0.430	0.509
2,000	9.84	0.686	0.0187	3.210	23.6	0.576	0.499	0.585
2,200	10.69	0.745	0.0178	3.485	26.9	0.657	0.580	0.684
2,400	11.55	0.805	0.0162	3.765	31.7	0.773	0.696	0.825
2,600	12.37	0.863	0.0142	4.035	38.9	0.943	0.871	1.030
2,800	13.22	0.922	0.0112	4.310	52.5	1.28	1.203	1.430
2,900	13.68	0.951	0.0090	4.450	67.4	1.64	1.563	1.850
3,000	14.12	0.980	0.0059	4.590	107	2.61	2.533	3.000

設汽流經過汽門后的收縮系数 $C_c = 0.8$, 則实际的面积

$$A_p = \frac{G}{0.8 \xi \sqrt{\frac{P_0}{V_0}}}.$$

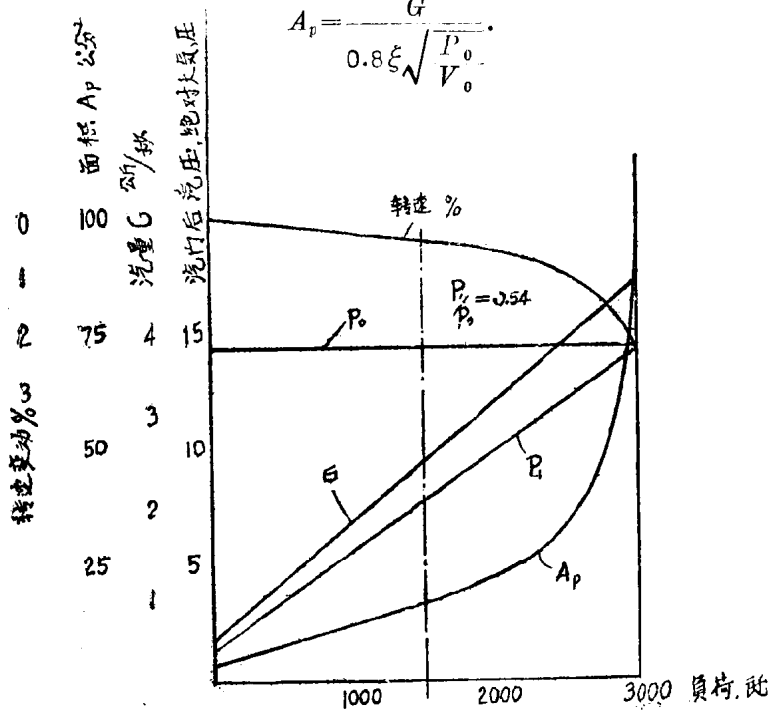


图 I - 3a 汽門計算圖

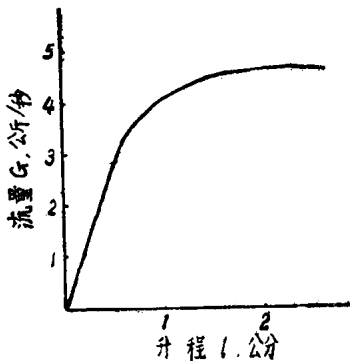


图 I - 3b 单口汽門升程与流量关系

当出力为 3,000 匹时， P_1 为 14.12，则 $\frac{P_1}{P_0} = \frac{14.12}{14.32} = 0.98$ 。

(即选定此汽門压降比 0.98)。从图 I-2 中的曲綫查出 ξ 为 0.0059，故

$$A_p = \frac{4.59}{0.8 \times 0.0059 \sqrt{\frac{14.32}{0.173}}} = 107 \text{ 公分}^2$$

單平口汽門的最大升程，可以从下式推导出来，其意义为汽門的开口已等于汽門名称直徑处的面积

面积

$$\frac{\pi D^2}{4} = \pi D L$$

所以 $L = 0.25D$ 。

今选择 3000 匹时汽門的升程为 $0.2D$ ，則此汽門的直徑 D 可由下式求得：

$$\pi D L = \pi 0.2 \cdot D^2 = 107,$$

$$\text{所以 } D = \sqrt{\frac{107}{\pi 0.2}} = 13.05 \text{ 公分.}$$

此时汽門升程

$$L = 0.2D = 0.2 \times 13.05 = 2.61 \text{ 公分.}$$

类似地可将其他各种出力下的实际面积与升程計算出来。

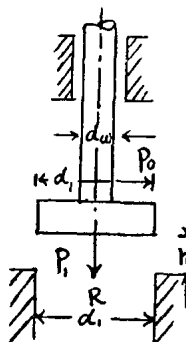
汽門的升程减掉空負荷时的升程亦列入表中以 L' 表示。假定自轉速到汽門升程的关系是線性的，在給定速度变动率 3% 的情况下，各升程 L' 的速度的变动可由下式决定：

$$\frac{L'}{2.533} \times 3\%$$

在各种負荷下計算出的数值均列入表 2 并画在图 I-3a 上。汽門升程与流量的关系画出图 I-3b 上。

現在我們来分析图 I-3a，負荷与面积的关系在一开头是直线，当压力比 P_1/P_0 小于临界值以后，这关系綫就成为曲线。但汽門面积 $A_p = \pi D L$ ，即汽門升程与面积的关系是直线，故使轉速变

动与负荷的关系在 P_1/P_0 小于临界值以后也有相应曲线。这种曲线对汽轮机的运行是不利的。



蒸汽作用于单平口汽门上的力量可用下式决定（式中符号见图 I-4）：

$$P_0 \left(\frac{\pi d_1^2}{4} - \frac{\pi d_{uu}^2}{4} \right) - P_1 \frac{\pi d_1^2}{4} = R . \quad (5)$$

当汽门全关闭时， $P_1=0$ 。为了分析简单起见，可概略地把此时的提升力当作最大

$$P_0 \left(\frac{\pi d_1^2}{4} - \frac{\pi d_{uu}^2}{4} \right) = R_{\text{最大}} .$$

如果汽门开大到使 $P_1=P_0$ ，则 R 将为负值，其方向与图 I-4 中所示的相反，这将增加汽门卡涩的可能性。因之当汽门全开时，最好仍保持 R 为正数，其极限条件为：

$$P_0 \left(\frac{\pi d_1^2}{4} - \frac{\pi d_{uu}^2}{4} \right) - \frac{\pi d_1^2}{4} P_{10} = 0 \quad (6)$$

式中 P_{10} —— 汽门后最大的汽压。

当汽门刚开启时，门杆上要发生最大的张应力 $\sigma_{\text{最大}}$ ，其数值可用下式决定：

$$P_0 \left(\frac{\pi d_1^2}{4} - \frac{\pi d_{uu}^2}{4} \right) = \frac{\pi d_{uu}^2}{4} \cdot \sigma_{\text{最大}} = R_{\text{最大}} . \quad (7)$$

上式可化成

$$\frac{\pi d_{uu}^2}{4} = \frac{P_0}{P_0 + \sigma_{\text{最大}}} \cdot \frac{\pi d_1^2}{4} . \quad (8)$$

式(6)可写成

$$(P_0 - P_{10}) \frac{\pi d_1^2}{4} - P_0 \frac{\pi d_{uu}^2}{4} = 0.$$

将式(8)代入上式并化简得

$$\frac{P_0 - P_{10}}{P_0} = \frac{P_0}{P_0 + \sigma_{\text{最大}}} = \frac{1}{1 + \frac{\sigma_{\text{最大}}}{P_0}} . \quad (9)$$

現在來分析這個式子。 $\frac{P_0 - P_{10}}{P_0}$ 為汽門全開時的汽壓降百分數，此數值愈大損失也愈大。 $\sigma_{\text{最大}}$ 汽門杆的應力也受到材料性能的限制。當壓力 P_0 上升時，如仍要保持上式的关系，就不得不加大壓降百分數或加大汽門杆的應力。

舉兩個例子來說明問題： $P_0 = 30$ 公斤/公分²， $\sigma_{\text{最大}} = 600$ 公斤/公分²； $P_0 = 90$ 公斤/公分²。在第一種情況下

$$1) \quad \frac{P_0 - P_{10}}{P_0} = \frac{1}{1 + \frac{600}{30}} = 0.0475;$$

第二種情況如 $\sigma_{\text{最大}} = 600$ 公斤/公分²

$$2) \quad \frac{P_0 - P_{10}}{P_0} = \frac{1}{1 + \frac{600}{90}} = 0.131.$$

第二種情況如 $\frac{P_0 - P_{10}}{P_0} = 0.0475$ 不變

$$2)' \quad \sigma_{\text{最大}} = 600 \cdot \frac{90}{30} = 1,800 \text{ 公斤/公分}^2.$$

當汽門全開時，如果允許 R 的數值可以為不大的負數，上述的情況就和緩得多。

三、單斜口汽門

為了想把汽門升程與流量的關係作成直線的，故出現有斜口汽門。現在以實例來討論這種汽門。仍用上例汽輪機的額定出力為3000瓩。汽門後的汽壓 P_1 及流量 G 均與前例相同。

選擇汽門直徑 D 為16公分，在額定出力時從空負荷的升程為 $0.3D = 4.8$ 公分。表3中列出了兩種計算數據，一為 $P_0 = 14.41$ 絕對大氣壓，另一為 $P_0 = 14.75$ 絕對大氣壓。計算面積 A_p 的方法與上例相同，不在此作重述，請見表3。

汽門開度 x 的意義如圖I-5所示，即門座與門心之間的最小距離， x 值可以以下式求出：

$$x = \frac{A_p}{\pi D}$$

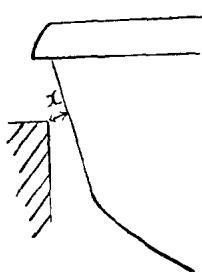
表 3

單斜口汽門計算的例子

額定出力为3000瓩，比容 $V_0=0.173$ 米³/公斤，汽門直徑为16公分

从空負荷 的升程 L' , 公分	負荷 噸	$P_0 = 14.41$ 絕對大气压		$P_0 = 14.75$ 絕對大气压	
		面积 A_p , 公分 ²	开度 x , 公分	面积 A_p , 公分 ²	开度 x , 公分
0	0	3.19	0.063	3.11	0.062
0.48	300	6.05	0.12	5.91	0.12
0.96	600	9.43	0.19	8.71	0.17
1.44	900	11.8	0.24	11.5	0.23
1.92	1,200	14.7	0.29	14.3	0.28
2.40	1,500	17.5	0.35	17.1	0.34
2.88	1,800	20.6	0.41	20.0	0.40
3.36	2,100	24.8	0.49	23.9	0.48
3.84	2,400	31.2	0.62	29.5	0.59
3.96	2,475	33.5	0.67	31.5	0.63
4.08	2,550	36.1	0.72	33.7	0.67
4.21	2,625	39.4	0.78	36.2	0.72
4.32	2,700	43.6	0.88	39.5	0.78
4.44	2,775	48.9	0.97	43.6	0.88
4.56	2,850	56.3	1.12	48.7	0.97
4.68	2,925	70.0	1.39	56.2	1.12
4.8	3,000	96.5	1.92	68.9	1.32

汽門曲綫的作图法示于图 I - 6 中。以門座往下落来代替汽門上升。

图 I - 5 汽門开度 x 的意义

以各相应的开度 x 作圆弧，汽門的曲綫应为相切于各圆弧的曲綫。在作图过程中，可发现对于 $P_0 = 14.41$ 絕對大气压在升程大于3.8公分以后，对于 $P_0 = 14.75$ 絕對大气压在升程大于3.96公分以后，各圆弧互相干涉。可以看出， P_0 愈大，相互干涉的情况較緩和。也就是說只有把汽門的压降 $\frac{P_0 - P_1}{P_0}$ 做得很大才能获得升程与流量的直

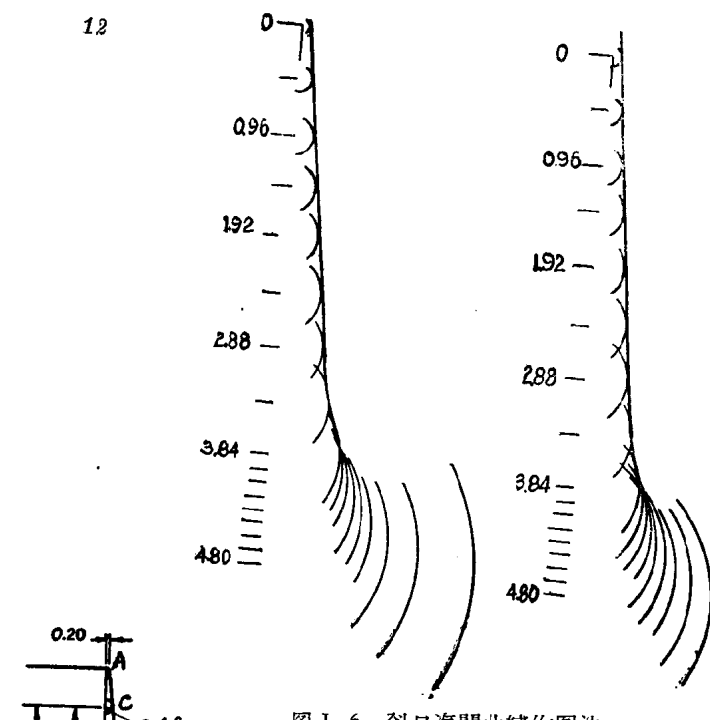


图 I-6 斜口汽門曲線作圖法

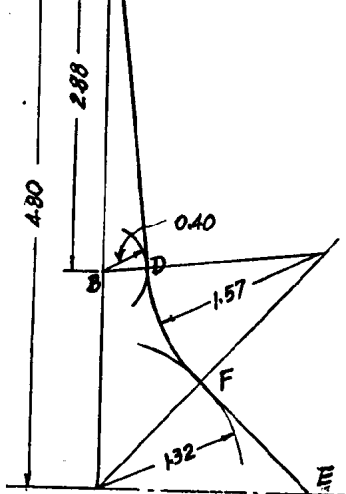


图 I-7 实际的斜口汽門作图法

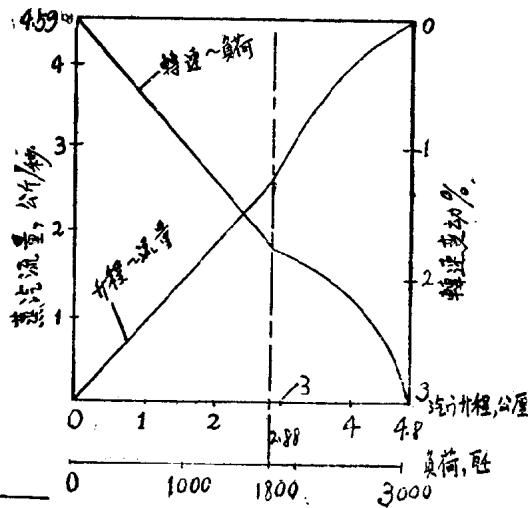


图 I-8

綫关系，但是这是不允許的。

实际上，只能近似地来做此曲线。以上述的 $P_0 = 14.75$ 絶对大气压的情况为例(图 I-7)，首先作出自空負荷到滿負荷的升程 4.80 公厘，在滿負荷升程处以 1.32 公分为半徑画圓弧。在空負荷以半徑 0.062 作圓弧，在相当 1800 頓負荷升程为 2.88 公厘时，以半徑 0.40 公厘作圓弧，画直線 CD 与 0.62 及 0.40 圓弧相切。作 BD 垂直 CD。作圓弧 DF 令其中心落在 BD 的延長線上且与 1.32 公分为半徑的圓弧相切。將 CD 延長至 A 点使其与座口間隙为 0.2 公厘。作直線 FE 与弧 DF 相切。ACDFE 为汽門心的曲綫。这样一来汽門升程与流量的关系及轉速变动与負荷的关系將分別如图 I-8 所示，并不能完全作成直綫关系。

四、双口汽門

單口汽門的蒸汽力量 R 是在汽門剛开启时发生的，其时全部蒸汽的压力 P_0 均作用在上汽門心的进汽侧。为了改善这种情况，在旧式汽輪机中常用双口汽門。图 I-9 上划出了双口汽門的示意图。应用图中的各符号，蒸汽作用力 R 写成下式：

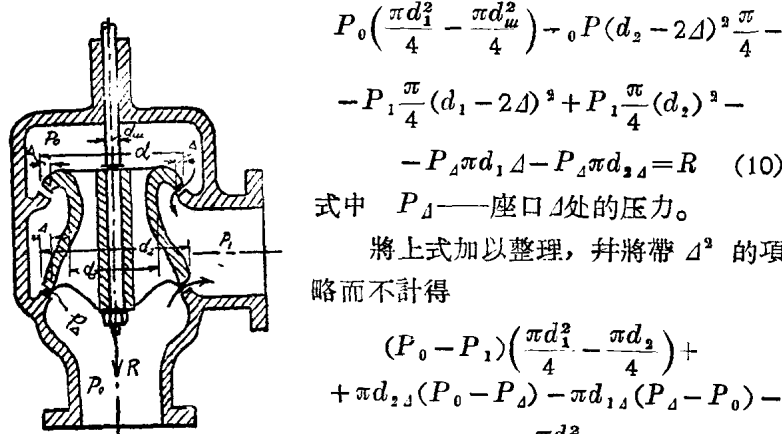


图 I-9 双口汽門

式中 P_4 ——座口 A 处的压力。

將上式加以整理，并將帶 A^2 的項略而不計得

$$(P_0 - P_1) \left(\frac{\pi d_1^2}{4} - \frac{\pi d_2^2}{4} \right) + \pi d_{2A} (P_0 - P_4) - \pi d_{1A} (P_4 - P_0) - P_0 = \frac{\pi d_{1A}^2}{4} = R \quad (11)$$

压力 P_4 的数值，当 $\frac{P_1}{P_0}$ 小于临界值时，可采用临界值 P_k ；当

$\frac{P_1}{P_0}$ 大于临界值时采用 P_1 。

从公式(11)中可以看出，当 $d_1 > d_2$ 时， R 永远是正值。当 d_1 接近 d_2 时， R_1 的符号视座口处压力 P_4 的大小而定。当 $d_1 = d_2$ 时，公式(11)可写成

$$\pi d_1 (P_0 + P_1 - 2P_4) - P_0 \frac{\pi d_w^2}{4} = R$$

在汽门刚刚开启时 $P_4 = P_k = 0.546P_0$ ，而 P_1 接近于零，因此 R 为负值。当汽门渐开， P_1 大于 P_k ， $P_4 = P_1$ ， R 可能成为正值。

为了使 R 永远保持成正值， d_1 应大于 d_2 。这对结构来说也有方便的地方，由于 $d_2 < d_1$ ，在拆装时，门心的下部易于通过上座口。

上面对于 R 正负号问题的讨论，只有在蒸汽流过汽门的方向如图 I-9 所示才是正确的，其时蒸汽是由两端进入汽门中部的。这种进汽办法使门杆与门套的间隙处经常处于全压 P_0 下，增加了此间隙的漏汽。有的制造厂让蒸汽自汽门中部流向两端，这对减少漏汽是有好处的，此时要保持 R 为正值，需令 $d_2 > d_1$ 。满足这个条件会使汽门易于拆卸。B.B.C. 公司制造一种汽门，其下口比上口大，上座是可拆卸的。

双口汽门的结构形式很多，有平口的也有斜口的。使用斜口的理由如上节所述。

采用双口汽门的缺点是，很难使上下口同时研磨严密。再者，运行时门心对蒸汽温度的反应较门座快，常比门座膨胀得多，因而造成上口漏汽。随着新蒸汽参数的提高，此缺点就表现得更严重，以致很难维持空转。近代高参数甚至中等参数的汽轮机中，趋向于不采用双口汽门。

在尺寸较大的双口汽门中，两个口要同时关闭几乎是不大可能的事。为了使漏汽小到可以维持空转，常常是让下口并不与门座接触而将门心下口起始段落作成狭长的锥体(如图 I-10)，利用